

SVEUČILIŠTE U ZAGREBU  
PRIRODOSLOVNO-MATEMATIČKI FAKULTET  
MATEMATIČKI ODSJEK

# Algoritam za klasifikaciju slika baziran na tenzorima

Ante Čubela i Mirna Lovrić

Zagreb  
22. svibanj 2023.

# Sadržaj

<b>Uvod</b>	<b>0</b>
<b>1 SINDy</b>	<b>1</b>
<b>2 MANDy</b>	<b>1</b>
2.1 Tensor - Train dekompozicija . . . . .	1
2.2 MANDy . . . . .	2
2.3 Kernel-based MANDy . . . . .	2
<b>3 Primjena</b>	<b>3</b>
3.1 Opis datasetova . . . . .	3
3.1.1 MNIST Handwritten Digits . . . . .	3
3.1.2 MNIST Fashion . . . . .	4
3.2 Rezultati . . . . .	5
3.2.1 MNIST Handwritten Digits . . . . .	5
3.2.2 MNIST Fashion . . . . .	8
3.2.3 Smanjenje dimenzija . . . . .	9
3.2.4 Kratki zaključak . . . . .	10
<b>Literatura</b>	<b>11</b>

# Uvod

Metode koje se baziraju na tenzorima postale su poprilično popularne u zadnje vrijeme te nalaze primjenu u područjima kao što je kvantna mehanika i računalna dinamika fluida (CFD). Primjerice, kanonska i tensor train dekompozicija koriste se u kvantnom strojnom učenju. Također, rekonstrukcija jednadžbi dinamičkog sustava jedan je od problema koji se rješava metodama koje se baziraju na tenzorima.

U ovom ćemo radu prezentirati algoritam za klasifikaciju višedimenzionalnih objekata koji se bazira na metodi korištenoj za problem rekonstrukcije jednadžbi dinamičkog sustava. Poslije ćemo ga konkretno primijeniti za klasifikaciju dvodimenzionalnih objekata - slika.

U nastavku rada definirat ćemo algoritam SINDy, njegovu tenzorsku verziju MANDy te kernel-based verziju MANDy algoritma, odnosno algoritam za klasifikaciju objekata. Zatim ćemo algoritam primijeniti na dva MNIST data seta i analizirati efikasnost algoritma.

# 1 SINDy

Algoritam SINDy (Sparse Identification of Non-linear Dynamics) je prvotno osmišljen za generiranje jednadžbi dinamičkog sustava iz danih podataka, no u ovom radu koristit ćemo ga za probleme klasifikacije.

Neka je dana ODJ

$$\dot{x} = f(x),$$

gdje je  $f : \mathbb{R}^d \rightarrow \mathbb{R}^d$ , te  $m$  mjerenja  $x^{(j)}, j = 1, \dots, m$  i odgovarajuće derivacije  $y^{(j)} = \dot{x}^{(j)}$ . Želimo rekonstruirati funkciju  $f$  na temelju danih mjerenja. Stavimo  $X = [x^{(1)} \dots x^{(m)}] \in \mathbb{R}^{d \times m}$ ,  $Y = [y^{(1)} \dots y^{(m)}] \in \mathbb{R}^{d \times m}$  te odaberimo *baznu* funkciju  $\Psi : \mathbb{R}^d \rightarrow \mathbb{R}^n$ , koja će predstavljati traženu funkciju  $f$ . Definiramo matricu  $\Psi_X \in \mathbb{R}^{n \times m}$  kao

$$\Psi_X = [\Psi(x^{(1)}) \dots \Psi(x^{(m)})]. \quad (1)$$

Odnosno,  $\Psi_X(i, j) = \Psi(x^{(j)})^T e_i$ ,  $i = 1, \dots, n, j = 1, \dots, m$ , gdje  $e_i$  predstavlja  $i$ -ti kanonski vektor. Sada se algoritam svodi na rješavanje minimizacijske zadaće

$$\min_{\Xi} \|Y - \Xi^T \Psi_X\|_F. \quad (2)$$

Matricu  $\Xi \in \mathbb{R}^{n \times d}$  zovemo matricom koeficijenata i njen proizvoljni stupac  $\xi_i$  predstavlja funkciju  $f_i$ , tj.

$$y_i^{(j)} \approx f_i(x^{(j)}) = \xi_i^T \Psi(x^{(j)}). \quad (3)$$

Drugim riječima, djelovanje funkcije  $f_i$  na vektor  $x^{(j)}$  smo aproksimirali kao linearnu kombinaciju komponenti vektora  $\Psi(x^{(j)})$ . Rješenje gornje zadaće dano je izrazom

$$\Xi^T = Y \Psi_X^+, \quad (4)$$

gdje je  $\Psi_X^+$  pseudoinverz matrice  $\Psi_X$ . Napomenimo kako je ovaj problem moguće promatrati i kada je  $f : \mathbb{R}^d \rightarrow \mathbb{R}^{d'}$ , gdje je  $d' \neq d$ , pa je tada  $Y \in \mathbb{R}^{d' \times m}$ .

# 2 MANDy

## 2.1 Tensor - Train dekompozicija

Neka je dan tenzor  $\mathbf{T} \in \mathbb{R}^{I_1 \times I_2 \times \dots \times I_N}$  reda  $N$ . Kažemo da tenzor  $\mathbf{T}$  ima Tensor - Train (TT) dekompoziciju ako postoje brojevi  $r_0, r_1, \dots, r_N$ , tenzori  $\mathbf{T}_1, \mathbf{T}_2, \dots, \mathbf{T}_N$ ,  $\mathbf{T}_k \in \mathbb{R}^{r_{k-1} \times I_k \times r_k}$ , za  $k = 1, \dots, N$  takvi da

$$\mathbf{T}(i_1, i_2, \dots, i_N) = \mathbf{T}_1(:, i_1, :) \mathbf{T}_2(:, i_2, :) \cdots \mathbf{T}_N(:, i_N, :), \quad i_k \in I_k, \quad k = 1, 2, \dots, N. \quad (5)$$

Brojeve  $r_k$  zovemo TT-rangove, a tenzore  $\mathbf{T}_k$  TT-jezgre. Uočimo kako je  $r_0 = r_N = 1$ . Kako su TT-jezgre tenzori reda 3, (5) možemo zapisati kao  $\mathbf{T}(i_1, i_1, \dots, i_N) = T_1(i_1)T_2(i_2) \cdots T_N(i_N)$ .

## 2.2 MANDy

Algoritam MANDy je tenzorska verzija SINDy algoritma. Konkretno, rješavamo istu zadaću kao u algoritmu SINDy, no sada umjesto jedne bazne funkcije  $\Psi : \mathbb{R}^d \rightarrow \mathbb{R}^n$ , uvodimo  $p$  baznih funkcija  $\psi_\mu : \mathbb{R}^d \rightarrow \mathbb{R}^{n_\mu}, \mu = 1, 2, \dots, p$ . Nadalje, umjesto matrice  $\Psi_X \in \mathbb{R}^{n \times m}$  definirane sa (1) sada imamo tenzor  $\Psi_X \in \mathbb{R}^{n_1 \times \dots \times n_p \times m}$  takav da je  $\Psi_X(i_1, \dots, i_p, j) = \psi_{1,i_1}(x^{(j)}) \dots \psi_{p,i_p}(x^{(j)}), 1 \leq i_k \leq n_k, k = 1, \dots, p, j = 1, \dots, m$  te rješavamo minimizacijsku zadaću

$$\min_{\Xi} \|Y - \Xi^T \Psi_X\|_F, \quad (6)$$

gdje želimo dobiti tenzor koeficijenata  $\Xi \in \mathbb{R}^{n_1 \times \dots \times n_p \times d}$  u TT formatu.

## 2.3 Kernel-based MANDy

Koristeći oznake kao i u prethodnom poglavlju, neka su dane matrice  $X \in \mathbb{R}^{d \times m}, Y \in \mathbb{R}^{d' \times m}$ , te bazne funkcije  $\psi_\mu : \mathbb{R}^d \rightarrow \mathbb{R}^{n_\mu}, \mu = 1, 2, \dots, p$ . Želimo odrediti tenzor koeficijenata  $\Xi \in \mathbb{R}^{n_1 \times \dots \times n_p \times d'}$  koji rješava optimizacijsku zadaću (6). Rješenje te zadaće dano je s  $\Xi^T = Y \Psi_X^+$ . Kako bismo izračunali pseudoinverz tenzora  $\Psi_X$  koristimo identitet  $\Psi_X^+ = (\Psi_X^T \Psi_X)^+ \Psi_X^T$ . Sada je

$$\Xi^T = Y (\Psi_X^T \Psi_X)^+ \Psi_X^T \quad (7)$$

Kontrakcijom  $\Psi_X$  i  $\Psi_X^T$  se dobije Gramova matrica  $G$  dimenzija  $m \times m$ . Tu Gramovu matricu računamo koristeći neku od *kernel* funkcija  $k$  na sljedeći način:

$$G_{i,j} = k(x^{(i)}, x^{(j)}) = \Psi(x^{(j)})^T \Psi(x^{(i)}) \quad (8)$$

To bi zbog načina dobivanja tenzora  $\Psi_X$  značilo da vrijedi:

$$k(x^{(i)}, x^{(j)}) = \prod_{\mu=1}^p \psi_\mu(x^{(j)})^T \psi_\mu(x^{(i)}). \quad (9)$$

Kako je *kernel* funkcija produkt, dobije se da se Gramova matrica  $G$  može izračunati kao Hadamardov produkt:

$$G = \Theta_1 \odot \Theta_2 \odot \dots \odot \Theta_p,$$

gdje su  $\Theta_1, \dots, \Theta_p$  matrice dimenzija  $m \times m$  dane s:

$$\Theta_\mu = [\psi_\mu(x^{(1)}), \dots, \psi_\mu(x^{(m)})]^T \cdot [\psi_\mu(x^{(1)}), \dots, \psi_\mu(x^{(m)})].$$

To daje efikasniju implementaciju, no mi ćemo za računanje koristiti (8).

Sada definiramo matricu  $Z := Y G^+ \in \mathbb{R}^{d' \times m}$ , koja se može dobiti rješavanjem sustava  $ZG = Y$  (ili ako je  $G$  singularna, sustav se rješava u smislu najmanjih kvadrata). Funkcija klasificiranja  $f$  se onda dobije kao:

$$f(x) = Z \Psi_X^T \Psi(x) = Z \begin{bmatrix} k(x^{(1)}, x) \\ \vdots \\ k(x^{(m)}, x) \end{bmatrix}. \quad (10)$$

Indeks komponente od  $f(x)$  s najvećom apsolutnom vrijednosti će biti predviđena klasa. Cijeli algoritam je opisan ispod:

---

**Algoritam 1** Kernel-based MANDy

---

**Ulazni podaci:** Trening set  $X$ , matrica oznaka za trening set  $Y$ , test set  $\hat{X}$ , bazne funkcije

**Izlazni podaci:** Matrica oznaka  $\hat{Y}$

- 1: Računanje Gramove matrice  $G$  koristeći (8), (9).
  - 2: Rješavanje sustava  $ZG = Y$ .
  - 3: Definiranje funkcije klasificiranja  $f$  koristeći (10).
  - 4: Primjena funkcije  $f$  na svaki vektor iz test seta i spremanje rezultata u matricu  $\hat{Y}$ .
  - 5: Indeks komponente svakog stupca  $\hat{y}^{(i)}$  od  $\hat{Y}$  s najvećom apsolutnom vrijednosti će biti predviđena klasa za sliku  $\hat{x}^{(i)}$  iz  $\hat{X}$ .
- 

Pri računanju matrice  $G$ , koristimo sljedeću kernel funkciju:

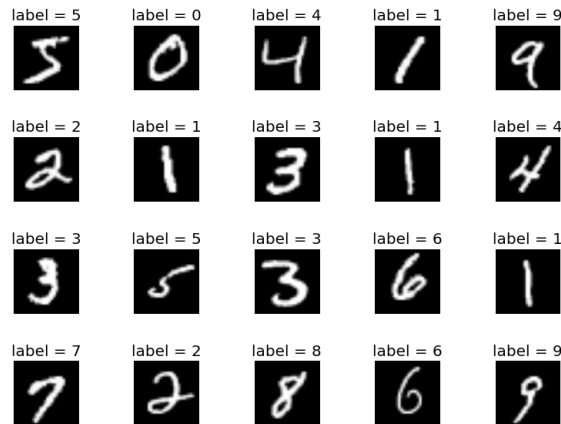
$$k(x, x') = \prod_{i=1}^d \cos(\alpha(x_i - x'_i)) \quad (11)$$

## 3 Primjena

### 3.1 Opis datasetova

#### 3.1.1 MNIST Handwritten Digits

Originalan MNIST dataset sadrži ukupno 70 000 grayscaleanih slika rukom pisanih znamenki od 0 do 9 dimenzija  $28 \times 28$ . Dakle svaka slika sadrži 784 piksela, te svaki piksel ima vrijednost u rasponu od 0 do 255. Svaku sliku ćemo normalizirati na interval  $[0, 1]$ .



**Slika 5.1** Primjeri slika iz MNIST handwritten digit dataseta

Prvih 60 000 slika smo iskoristili za treniranje, a preostalih 10 000 za testiranje algoritma. Također, svaka slika je vektorizirana, tj. matrica dimenzije  $28 \times 28$  preoblikovana je u vektor veličine  $784 \times 1$  na način da se stupci matrice pišu jedan ispod drugoga, krenuvši od prvog stupca. Koristeći oznake već definirane u radu, imamo  $d = 784, d' = 10, x^{(j)} \in \mathbb{R}^d, j = 1, \dots, d$  predstavlja  $j$  – tu sliku iz dataseta,  $y^{(j)} \in \mathbb{R}^{d'}$  je odgovarajuća oznaka te slike, odnosno vektor  $y^{(j)}$  na poziciji  $i$  sadrži 1 ako slika  $x^{(j)}$  predstavlja znamenku  $i - 1$ , a inače je vrijednost 0.

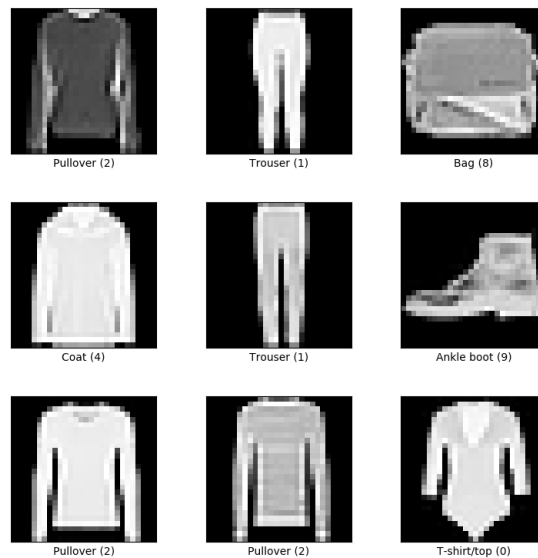
### 3.1.2 MNIST Fashion

Slično kao i kod originalnog MNIST-a, MNIST fashion sadrži 70 000 grayscaleanih slika dimenzija  $28 \times 28$  podijeljenih u 10 klasa :

1. Majica kratkih rukava/top
2. Hlače
3. Pullover
4. Haljina
5. Kaput
6. Sandale
7. Košulja
8. Tenisice
9. Torba
10. Čizme



**Slika 5.2** Primjeri slika iz MNIST Fashion dataseta



**Slika 5.3** Primjeri slika iz MNIST Fashion dataseta

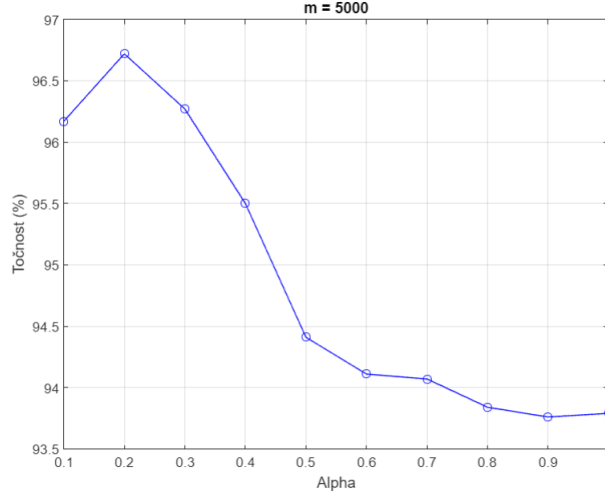
I te ćemo slike također normalizirati te podijeliti u jednakom omjeru kao za originalan MNIST na slike za treniranje i testiranje.

## 3.2 Rezultati

### 3.2.1 MNIST Handwritten Digits

Prvo smo uzeli 5000 slučajno odabranih podataka za treniranje i za te podatke varirali parametar  $\alpha$  od 0.1 do 1.0 s korakom od 0.1, kako bismo pronašli koja nam vrijednost parametra  $\alpha$  daje najbolje rezultate. Kao metriku uspješnosti smo koristili točnost (*accuracy*), te smo testirali algoritam na svih 10 000 podataka za testiranje. Koristili smo 5000 podataka za treniranje kako bi se algoritam izvršio u dovoljno kratko vrijeme. Ovisnost točnosti o parametru  $\alpha$  je pokazana na slici ispod.



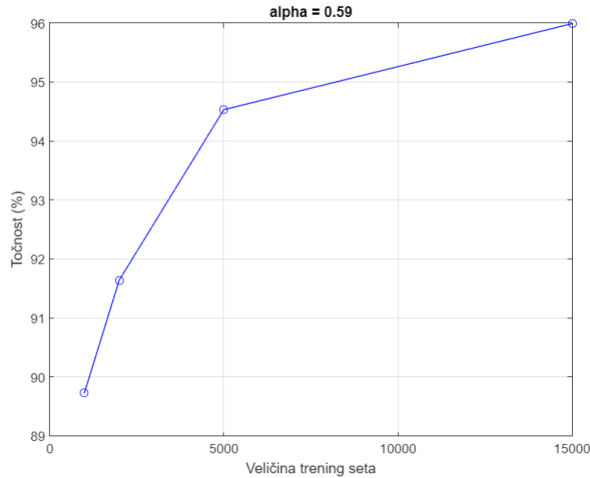


**Slika 5.4** Ovisnost točnosti o parametru  $\alpha$

Za točniji pregled vrijednosti, rezultati su prikazani i u tablici ispod. Tako ćemo rezultate prikazivati i dalje u ovome poglavlju.

$\alpha$	0.1	0.2	0.3	0.4	0.5	0.6	0.7	0.8	0.9	1.0
	96.17%	96.72%	96.27%	95.50%	94.41%	94.11%	94.07%	93.84%	93.76%	93.79%

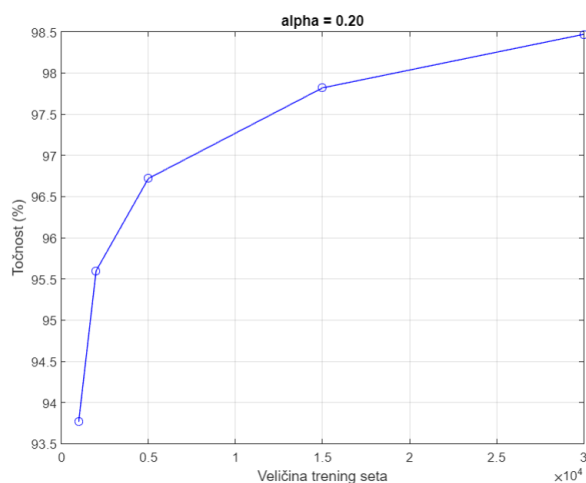
Zatim smo uzeli parametar  $\alpha = 0.59$  kao što su autori rada [1]. Varirali smo veličinu data-seta za treniranje time što smo uzeli redom: 1000, 2000, 5000 i 15 000 slučajno odabranih podataka. Nismo mogli uzeti više od 30 000 podataka, jer kreiranje matrice  $G$  za taj broj podataka (dimenzije od  $G$  su tada  $30\,000 \times 30\,000$ ) zahtjeva oko 7 Gb RAM memorije, što je otprilike maksimalno koliko smo imali na raspolaganju. Ovisnost točnosti o broju podataka uzetom za treniranje, uz vrijednost  $\alpha = 0.59$ , je pokazana na slici ispod ispod.



**Slika 5.5** Ovisnost točnosti o broju trening podataka za  $\alpha = 0.59$

Ponovili smo postupak, uključivši i veći trening dataset s 30 000 podataka, za parametar  $\alpha = 0.2$ , koji se u kratkoj analizi pokazao kao ponajbolji izbor. Konačni rezultati su prikazani na slici ispod.

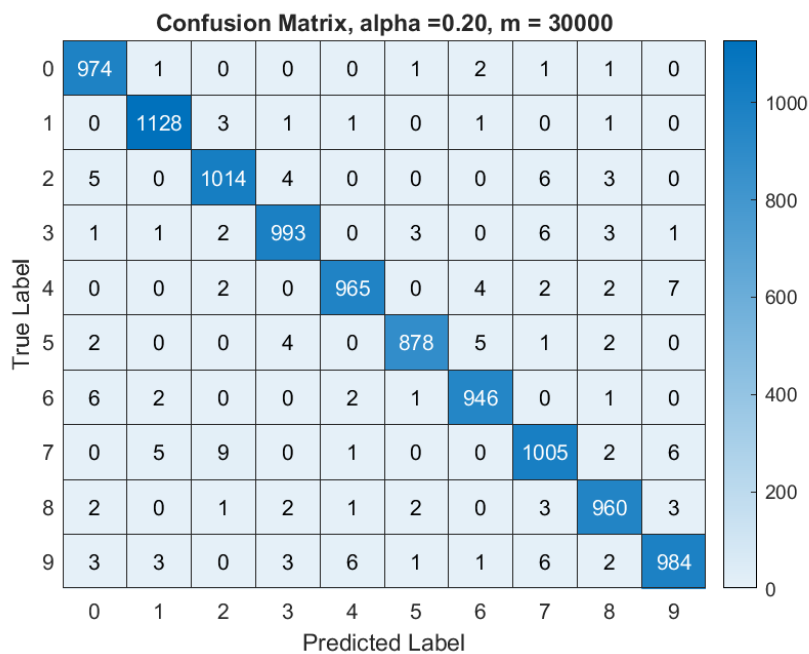
#TS	1000	2000	5000	15 000
	89.73%	91.64%	94.53%	95.99%



**Slika 5.6** Ovisnost točnosti o broju trening podataka za  $\alpha = 0.2$

#TS	1000	2000	5000	15 000	30 000
	93.77%	95.60%	96.72%	97.82%	98.47%

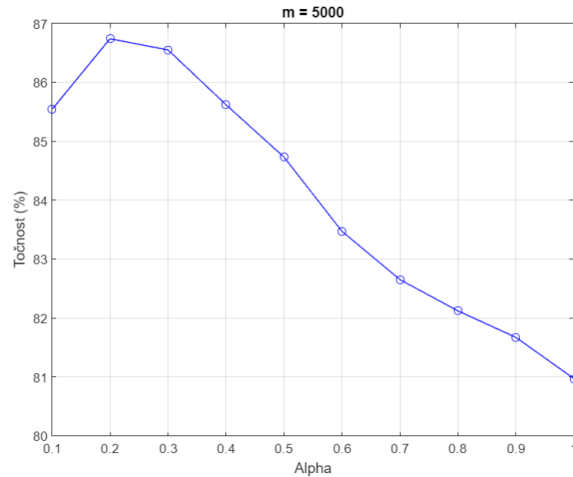
Ispod je prikazana i matrica zabune za model koji je postigao točnost od 98.47% na test setu.



**Slika 5.7** Matrica zabune za model treniran na 30 000 podataka uz  $\alpha = 0.2$

### 3.2.2 MNIST Fashion

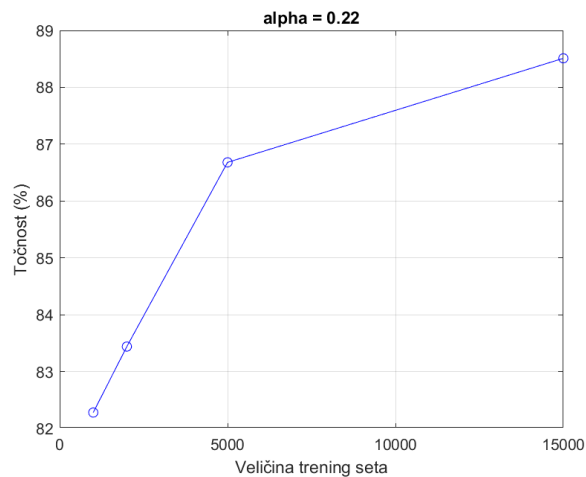
Broj podataka i dimenzija slika za ovaj dataset je jednaka kao i za MNIST Handwritten Digits dataset, pa je i naša analiza rezultata ista. Na slici ispod je prikazana ovisnost točnosti algoritma o parametru  $\alpha$  za 5000 slučajno odabranih podataka za treniranje.



Slika 5.8 Ovisnost točnosti o parametru  $\alpha$

$\alpha$	0.1	0.2	0.3	0.4	0.5	0.6	0.7	0.8	0.9	1.0
	85.54%	86.74%	86.55%	85.62%	84.73%	83.47%	82.65%	82.12%	81.67%	80.97%

Odlučili samo još istražiti točnost za vrijednosti  $\alpha$  između 0.20 i 0.29 s korakom 0.01, te se na kraju odlučili koristiti parametar  $\alpha = 0.22$ . Na slici ispod su prikazane točnosti algoritma za različite veličine slučajno odabranog trening seta.



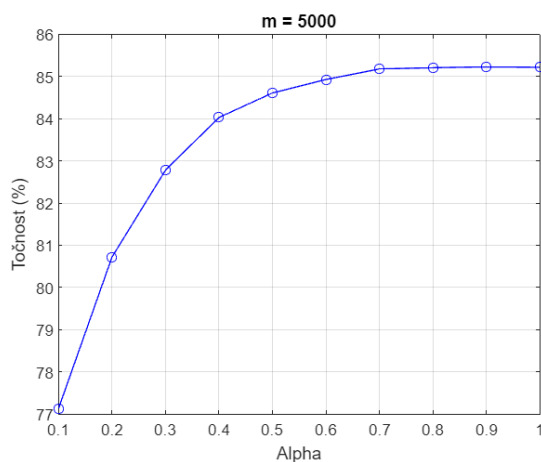
Slika 5.9 Ovisnost točnosti o parametru  $\alpha$

#TS	1000	2000	5000	15 000
	82.28%	83.44%	86.68%	88.51%

### 3.2.3 Smanjenje dimenzija

Isprobati ćemo još jedan pristup koji su iznijeli autori rada [1]. Smanjiti ćemo dimenzije slika na sljedeći način. Grupirati ćemo piksele slika u kvadrate dimenzija  $2 \times 2$  bez presjeka i uzeti prosjek ta 4 piksela. Ta dobivena vrijednost će biti vrijednost piksela u novoj slici. Kada to učinimo za cijelu sliku, dobijemo novu sliku dimenzija  $14 \times 14$ . Prednost takvog pristupa je brže vrijeme izvođenja, te korištenje manje memorije kroz algoritam. Memorijska ograničenja za nas i dalje ostaju ista, jer je za  $m$  trening slika i dalje potrebno alocirati i izračunati matricu dimenzija  $m \times m$  što za 60 000 slika zahtjeva oko 26.8 Gb RAM memorije u MATLAB-u.

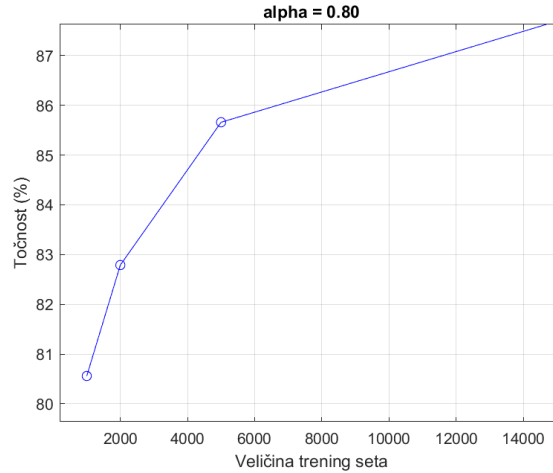
Iskoristiti ćemo takav pristup na MNIST Fashion datasetu. Postupak treniranja algoritma će biti analogan kao i prije. Prvo ćemo uzeti 5000 nasumično odabranih slika iz skupa za treniranje i varirati vrijednosti parametra  $\alpha$  od 0.1 do 1.0 s korakom 0.1. Rezultati su prikazani na slici ispod.



Slika 5.10 Ovisnost točnosti o parametru  $\alpha$

$\alpha$	0.1	0.2	0.3	0.4	0.5	0.6	0.7	0.8	0.9	1.0
	77.13%	80.72%	82.78%	84.03%	84.61%	84.93%	85.18%	85.21%	85.23%	85.22%

Odlučili smo se za vrijednost  $\alpha = 0.8$  i nastavili s treniranjem analognu kao i prije. Rezultati su prikazani na slici ispod.



Slika 5.11 Ovisnost točnosti o parametru  $\alpha$

#TS	1000	2000	5000	15 000
	80.56%	82.79%	85.66%	87.69%

### 3.2.4 Kratki zaključak

Možemo sada napraviti kratku usporedbu s rezultatima autora rada. Zanimljivo je da su autori rada za oba dataseta dobili bolje rezultate na slikama smanjenih dimenzija sa oba algoritma koje su iznijeli u radu. Koristeći *kernel-based* MANDy algoritam na originalnim slikama su postigli točnosti od 97.24% za MNIST Handwritten Digits dataset i 88.37% za MNIST Fashion dataset. Koristeći mnogo manje trening podataka zbog računalnih ograničenja (autori su imali 128 Gb RAM memorije na raspolaganju), postigli smo rezultate od 98.47% te 88.51% respektivno na tim datasetovima. Za MNIST Handwritten Digits smo koristili 30 000, tj. 50% od ukupnih podataka za treniranje, dok smo za MNIST Fashion dataset koristisli 15 000, odnosno 25% od ukupne količine podataka. Sva mjerenja do sada su pokazala poboljšanje performansi algoritma sa značajnim povećanjem trening dataseta, pa se da naslutiti da ta uspješnost može biti i mnogo bolja.

Koristeći slike smanjenih dimenzija, autori su postigli točnosti od 98.75% te 88.82% na navedenim datasetovima. Mi smo iskušali tu metodu samo na MNIST Fashion datasetu i postigli točnost od 87.69% koristeći 15 000 podataka za treniranje, tj. 25% ukupnih danih podataka. Razlike u uspješnosti bi se možda mogle prepisati odabiru parametra  $\alpha$ . Parametar  $\alpha$  kojeg su autori koristili u radu ( $\alpha = 0.59$ ) se znatno razlikuje od optimalnih izbora za  $\alpha$  iz naših mjerenja.

# Literatura

- [1] S. Klus, P. Gelß: *Tensor-based algorithms for image classification*, Department of Mathematics and Computer Science, Freie Universität Berlin, 14195 Berlin, Germany 2019.
- [2] Z. Drmač: *Napredne Linearne i Nelinearne Numeričke Metode u Analizi Podataka*. PMF-MO Zagreb, 2023.
- [3] MNIST dataset: <https://www.kaggle.com/datasets/zalando-research/fashionmnist>  
<https://www.kaggle.com/datasets/hojjatk/mnist-dataset>
- [4] MNIST Fashion dataset: <https://www.kaggle.com/datasets/zalando-research/fashionmnist>